

Para los vitrinos & copos (S.G.)

→ problema de la dinámica, el sistema tiene en frio en tiempo de relajación $\rightarrow \infty$.

→ transición dinámica.

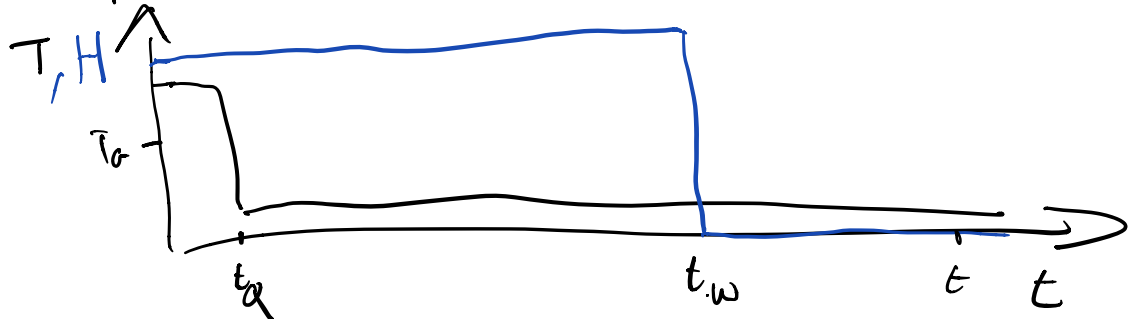
→ el tiempo de relajación, índice cuando diverge \rightarrow se entra en la fase S.G.

→ fenomenología de un sistema fuera de equilibrio.

→ 3 propiedades intrínsecas:

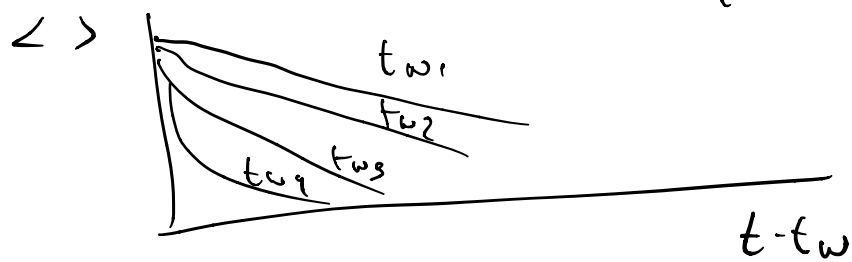
* Envejecimiento

experimento de enfriado rápido.

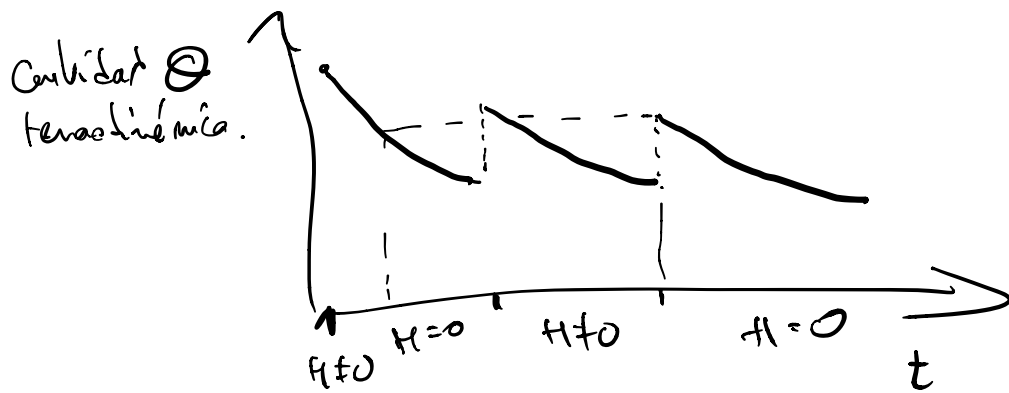


\rightarrow se mide $\langle \tau(t_w) \tau(t) \rangle$ con $t > t_w$
 en dinámica de equilibrio, se espera que la
 función de correlación dependa de $(t - t_w)$.
 \rightarrow aquí no, mientras mayor es t_w , más lento es
 el cae $\langle \tau(t_w) \tau(t) \rangle$

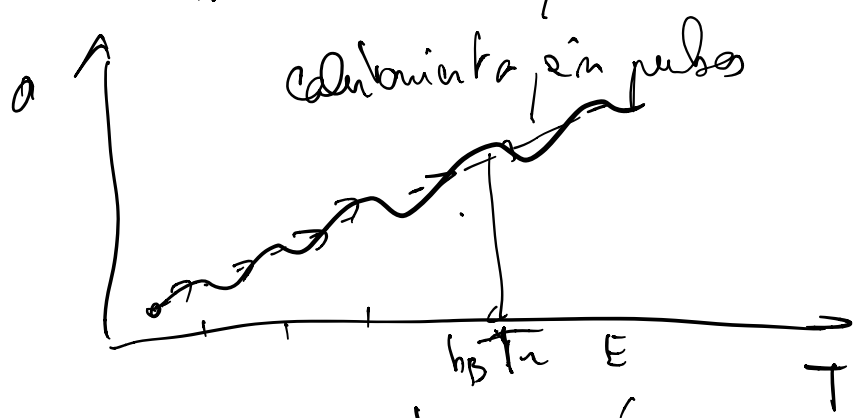
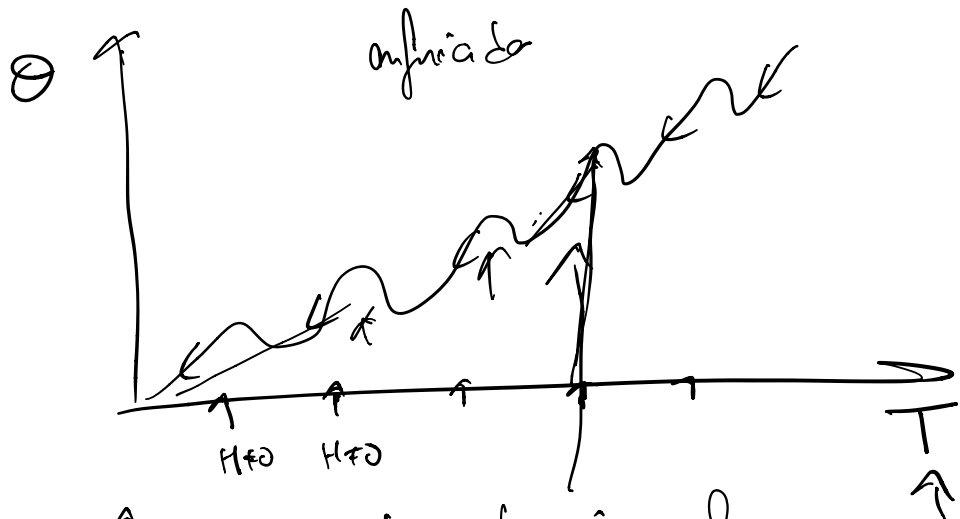
$$t_{w_1} < t_{w_2} < t_{w_3} < t_{w_4}$$



* "Refranecimiento"



* Memoria:



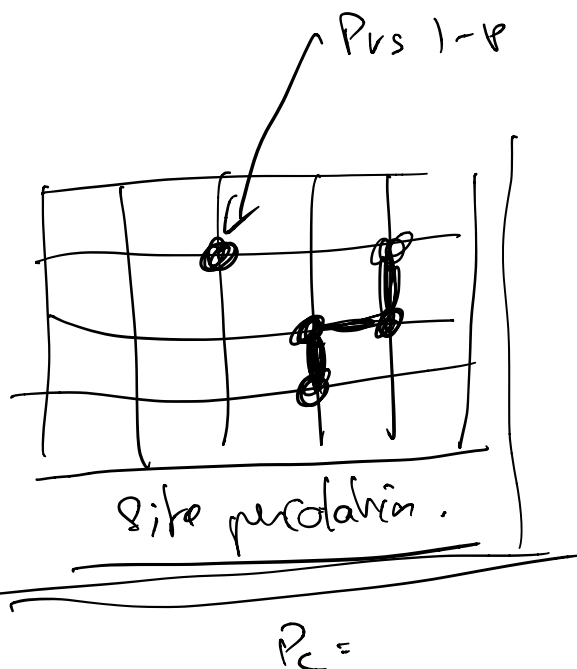
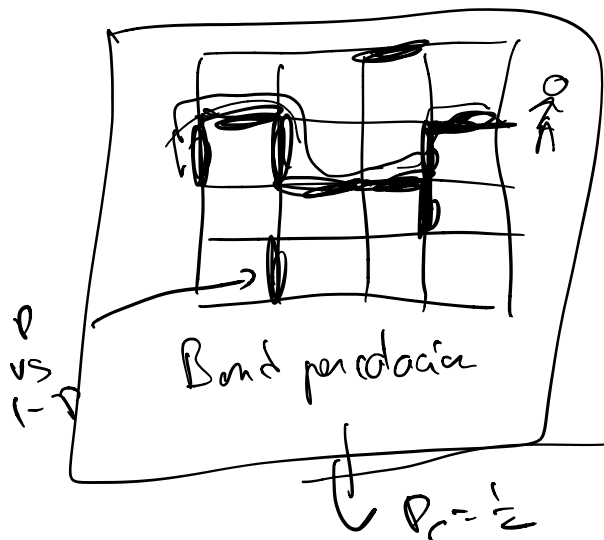
→ multiples escalas de energía, que pierden
quedan "paralizadas":

$$E \lesssim h_B T$$



→ relación con las vides neuronales.

5] Percolación



Para concentración de enlaces

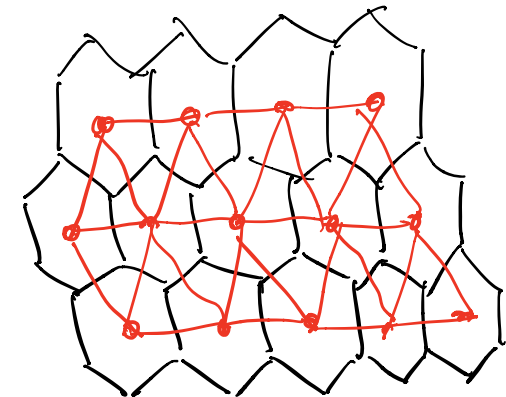
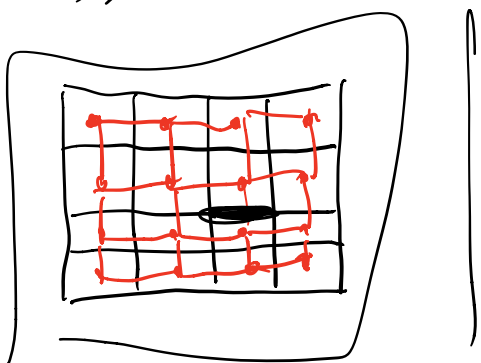
→ fango en enlace con granos P
halo" , " , " , " , " 1-P

$P = 0$ - Lager im Lagerhaus

$P = 1$ red perfecta.

\rightarrow $\exists \beta_c$ a partir del cual hay al menos
 1 cluster que percola.
 en β_c el cluster es un fractal de dimension.
 $\text{percolación} < \beta_c$
 el mismo en β_c es invariante de escala
 \rightarrow punto critico, aqui $T_c \leftrightarrow \beta_c$
 $T_c \leftrightarrow \beta_c$

Dualidad.



Percolación con la red negra.

\Rightarrow se hace un enlace con proba p y no se
 hace con proba $1-p$

Para la red negra \rightarrow si enlace negro lleno,
 \rightarrow enlace negro dual \rightarrow vacío

→ en la red gris → prob. de percolación

$$f = 1 - P$$

Se muestra que si una percola $P > P_c$
entonces el rojo

en todos si el rojo estará en P_c
entonces el rojo estará en q_c

→ corolario:

$$\text{en general } P_c + q_c = 1$$

$\uparrow \quad \uparrow$
 $\text{negro} \quad \text{negro}$

por ejemplo $P_c^{\text{triangular}} + P_c^{\text{hexagonal}} = 1$

$$\checkmark P_c^B + P_c^B = 1 \text{ o sea, percolación completa}$$

$$P_c = \frac{1}{z}$$

Clustering de punctación:

si $P < P_c \rightarrow$ no hay

si $P > P_c \rightarrow$ $D_{\text{cluster}} \approx D_c = D$

si N es el # de enlaces en clustering.

$$L \rightarrow bL \quad N \rightarrow b^{D_c} N$$

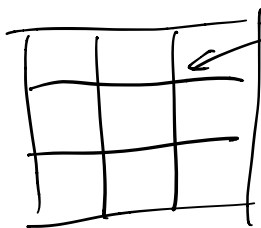
$D_c = \text{dimensión del cluster}$



justo si $P = P_c \quad D-1 < P_c < D$

\rightarrow punto crítico.

Relación con el Modelo de Paths:



para cada n'tro

$$\sigma_i = 1, 2, 3, \dots, Q$$

$Q=2$ (Ising)

$$H = -J \sum_{\langle i,j \rangle} S_{\sigma_i, \sigma_j}$$

$$S_{\sigma_i, \sigma_j} = \begin{cases} 1 & \text{if } \sigma_i = \sigma_j \\ 0 & \text{if } \sigma_i \neq \sigma_j \end{cases}$$

Ejercicio: si $Q=2$,

$$\sigma_i = 1, 2 \rightarrow \tilde{\sigma}_i = \pm 1$$

$$\rightarrow H_{\text{Part}} = H_{\text{Ising, Fijo}} + \delta r,$$

$$Z = \sum_{\{\sigma_i\}} e^{-H} \quad (\beta = 1)$$

Obs $e^{\frac{-J}{k} S_{\sigma_i, \sigma_j}} = \underbrace{1 + \chi \delta_{\sigma_i, \sigma_j}}$

en $\chi = e^{-1}$

$$Z = \sum_{\{S_i\}} \prod_{\langle i,j \rangle} e^{\rightarrow S \delta_{0,i} \delta_j} = \sum_{\{S_i\}} \prod_{\langle i,j \rangle} (1 + x \delta_{0,i} \delta_j)$$

\sum_{config}

	S	3		
	xS	xS	xS	S
S	3		xS	xS
	xS	3	xS	3

$N = \# \text{ tablones en la caja}$

$$Z = \sum_{\text{config.}} Q^{N_c} x^{N_B}$$

$N_c = \# \text{ de Clusters independientes}$

$N_B = \# \text{ de Bandilleros en total.}$

$$\tilde{Z} = (1+x)^{-N} Z$$

\hat{Z} analítica.

$$Z = \underbrace{(1+x)^{-N} \sum_C Q^{N_c} x^{N_B}}_{\hat{Z}(x, Q, N)}$$

\rightarrow continuación analítica a $Q=1$

para el p.d de Paseo de la Caja:

Con la config con N_B enlaces llenos. tiene una
 de $P^{N_B} (1-P)^{N-N_B}$; $Z_{perc} = \sum_{config} P^{N_B} (1-P)^{N-N_B}$

$$Z_{perc} = Z \text{ si } x = \frac{P}{(1-P)} \text{ y } Q \rightarrow 1$$

Por ejemplo,

* paseo de Clusters

$$\langle N_c \rangle = \left. \frac{\partial \ln \tilde{Z}}{\partial Q} \right|_{Q=1}$$

Para el modelo de Potts

Parámetros de orden

$$m_{a,i} = f_{i,a} - \frac{1}{Q}$$

$a = 1, \dots, q$ q colores

si $T > T_c$ ($\beta < \beta_c$), fase desordenada

→ cada color es igual de representar

$$\rightarrow \langle f_{0,i,a} \rangle = \frac{1}{q} \text{ Area } \langle m_{a,i} \rangle = 0$$

Luego

$$G_{a,a}(i,j) = \overline{\left(f_{0,i,a} - \frac{1}{q} \right) \left(f_{0,j,a} - \frac{1}{q} \right)}$$

Si $i \neq j$ están en clusters diferentes

pero $i \neq j$ están en el mismo cluster

$$\sum_{a=1, \dots, q} \left(f_{0,a} - \frac{1}{q} \right)^2 = \frac{q-1}{q} \quad \text{ej.}$$

para el pb de percolación:

$G(i,j) = \text{la probabilidad que } i \text{ y } j \text{ estén en el mismo cluster.}$

$$G(i,j) = - \frac{\partial}{\partial q} G_{a,a}(i,j) \quad \left. \begin{array}{l} \\ q=1 \end{array} \right\}$$

$$\text{si } P < P_c \quad -\frac{|\vec{n} - \vec{n}'|}{k}$$

$$G(\vec{n}, \vec{n}') \sim \frac{e^{-\frac{|\vec{n} - \vec{n}'|}{k}}}{k \cdot |\vec{n}'|}$$

$$\gamma \sim (P - P_c)^{-2} \text{ para } \epsilon = 1$$

el problema



$$n \text{ es alcance. } n \sim L^{\nu}$$

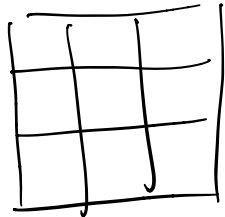
$$\nu = \frac{1}{2} + \frac{1}{4} \frac{h+2}{n+8} \epsilon + O(\epsilon^2)$$

\uparrow
n.c.
Wilson-Fisher.

$$\rightarrow \nu_{\text{Par}} = \frac{1}{2} + \frac{\epsilon}{16} + O(\epsilon^2)$$

ejemplo

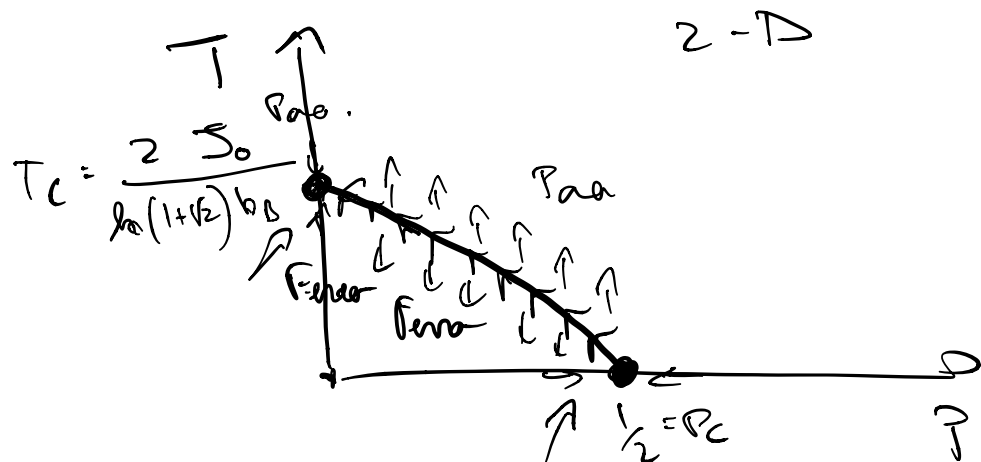
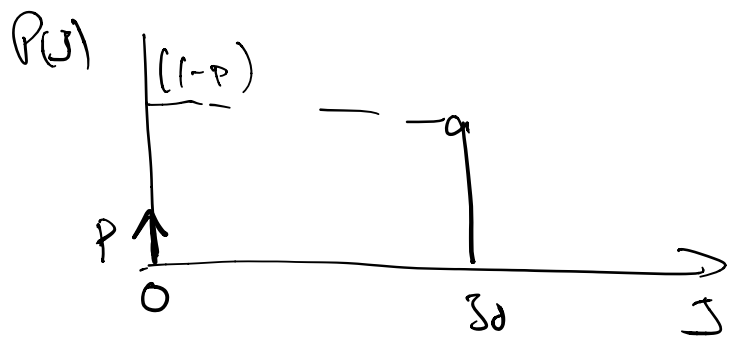
El modelo de Ising con acoplos divididos



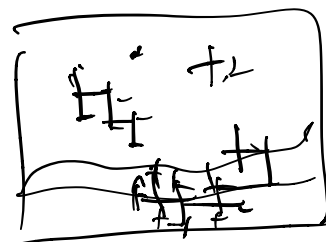
$$H = - \sum_{\langle i,j \rangle} J_{ij} \sigma_i \sigma_j$$

$\uparrow \quad \uparrow$
 $\sigma_i = \pm 1$

Aquí J_{ij} son variables aleatorias



$T = 0$



T_A

T_C

Fase

línea de cristi-arc.

Pae.

Para formarlos pequeños
bloques artificiales de poloxime
a los de precipitación

P

~~T_{MAX}~~

ahora

$P(T)$

$\approx S$

T_0

S

